

УДК 539.43

## ЭВОЛЮЦИОННАЯ МОДЕЛЬ УСТАЛОСТНОГО РАЗРУШЕНИЯ ПРИ НЕРЕГУЛЯРНОМ НАГРУЖЕНИИ

© 2022 г. Д. С. Петухов<sup>a,\*</sup>, И. Э. Келлер<sup>a,\*\*</sup>

<sup>a</sup> Институт механики сплошных сред УрО РАН, Пермь, Россия

\*e-mail: petuhovds@mail.ru

\*\*e-mail: kie@icmm.ru

Поступила в редакцию 09.10.2021 г.

После доработки 10.10.2021 г.

Принята к публикации 11.10.2021 г.

Представлена эволюционная модель усталостного разрушения при многоцикловом нерегулярном нагружении, структура которой соответствует модели Оттосена, но уравнения перемещения поверхности выносливости и накопления повреждений существенно усовершенствованы и введена память к циклу с максимальным размахом напряжений в предшествующей истории нагружения. Определены материальные константы модели по данным времени жизни для алюминиевого сплава, включающим кривые Велера для двух значений коэффициента асимметрии, кривую Хейга, статические пределы прочности при одноосном растяжении и кручении, циклическое нагружение с периодическими перегрузками и циклическое непропорциональное нагружение. Выполнен расчет эволюции накопления поврежденности на полетном цикле и выделен критический блок нагружения, от которого зависит усталостный ресурс материала при подобном характере воздействия. Показано, что модель оставляет свободу описания различных значений этого ресурса в зависимости от данных эксперимента.

*Ключевые слова:* усталостное разрушение, эволюция поврежденности, модель, многоцикловая усталость, нерегулярное нагружение, полетные циклы, идентификация

**DOI:** 10.31857/S0572329922020167

**1. Введение.** Многие детали машин при эксплуатации подвергаются немонотонной нерегулярной нагрузке. Подобные воздействия испытывают детали самолетов, вертолетов, экскаваторов, ветрогенераторов, наземного транспорта. Традиционным подходом к оценке усталостной прочности в подобных случаях, используемым многими конструкторскими бюро, является метод подсчета циклов, который подразумевает разбиение истории нагружения на отдельные полуциклы и определение вклада каждого из них в поврежденность без учета их очередности [1–3]. Однако очередность циклов нагрузки может значительно влиять на время до разрушения [4, 5]. Существует эволюционный подход к описанию накопления усталостных микроповреждений, который позволяет естественным образом учесть это влияние. Он заключается в записи эволюционного уравнения для параметра поврежденности в форме  $\dot{D}(t) = F(\sigma(t), t)$ , где  $\sigma(t)$  есть история изменения тензора напряжений,  $F$  – функционал процесса. Такой подход естественным образом применим и в случае многоосного непропорционального нагружения. Данное эволюционное уравнение интегрируется по времени, пока  $D$  не достигнет единицы, что означает разрушение. Некоторые эволюционные модели предложены в [6, 7]. Модель Оттосена [7] предназначена для описания много-

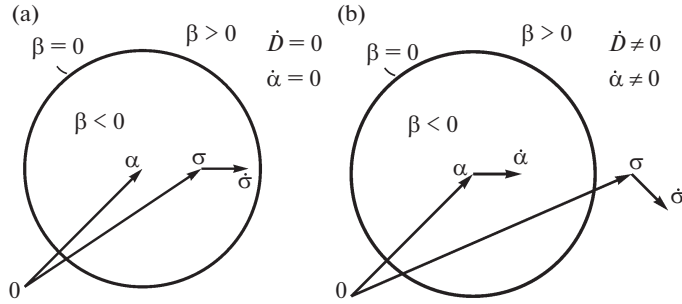


Рис. 1. Поверхность выносливости в пространстве напряжений.

циклового усталости, не связана с уравнениями движения и допускает точное решение на регулярном циклическом нагружении, что существенно упрощает процедуру ее идентификации. В настоящей работе предпринимается усовершенствование этой модели для возможности учета специфических эффектов, наблюдаемых в различных программах нерегулярного циклического нагружения [5, 8, 9].

**2. Модель.** Предлагаются следующие уравнения:

$$\beta = \left( \sqrt{\frac{3}{2}} \|\dot{\mathbf{s}} - \dot{\boldsymbol{\alpha}}\| + g(I_1) - r(\|\boldsymbol{\alpha}\|) + w(\Delta\sigma_{\max}) \right) / \sigma_{-1}$$

$$\dot{\boldsymbol{\alpha}} = \|\dot{\mathbf{s}}\| h(\beta) H(\beta) f(\angle(\dot{\mathbf{s}}, \mathbf{s} - \boldsymbol{\alpha})) \frac{\mathbf{s} - \boldsymbol{\alpha}}{\|\mathbf{s} - \boldsymbol{\alpha}\|}, \quad H(\beta) = \begin{cases} 0, & \beta < 0 \\ 1, & \beta \geq 0 \end{cases} \quad (2.1)$$

$$\dot{D} = \frac{\|\dot{\mathbf{s}}\|}{\sigma_{-1}} p(\beta) H(\beta) f(\angle(\dot{\mathbf{s}}, \mathbf{s} - \boldsymbol{\alpha})) \frac{1}{(1 - F(\boldsymbol{\sigma}))^{L_4}}$$

В основе данной модели лежит понятие поверхности выносливости в пространстве напряжений, задаваемой уравнением  $\beta = 0$ . Пока напряженное состояние лежит внутри поверхности ( $\beta \leq 0$ , рис. 1,а), прироста параметра поврежденности  $D$  не происходит, а когда напряженное состояние выходит за ее пределы ( $\beta > 0$ , рис. 1,б), параметр  $D$  начинает расти в зависимости от расстояния до поверхности и направления изменения напряжений. Кроме того, поверхность выносливости может менять размер и перемещаться, приспосабливаясь к нагружению. Местоположение поверхности задается тензорнозначным параметром  $\boldsymbol{\alpha}$ .

Выражение для  $\beta$ , приведенное в (2.1), имеет следующую структуру. Первое слагаемое определяет вклад девиаторной части напряженного состояния и является расстоянием между центром поверхности выносливости  $\boldsymbol{\alpha}$  и девиатором напряжений  $\mathbf{s} = \boldsymbol{\sigma} - \frac{1}{3} I_1 \mathbf{I}$ , где  $I_1 = \sigma_{ii}$  есть первый инвариант тензора напряжений,  $\mathbf{I}$  – единичный тензор. Норма симметричного тензора определяется как  $\|\mathbf{A}\| = \sqrt{\mathbf{A} : \mathbf{A}}$ . Второе слагаемое учитывает вклад гидростатической части и имеет вид материальной функции  $g$  от первого инварианта тензора напряжений  $I_1$ . Третье слагаемое задает радиус поверхности выносливости, который зависит от ее положения  $\boldsymbol{\alpha}$  в пространстве напряжений. Последнее слагаемое описывает сокращение радиуса поверхности выносливости как функцию максимального размаха напряжений в течение истории нагружения до текущего момента времени  $\Delta\sigma_{\max}(t) = \max_{t_1 < t_2 \leq t} (\|\boldsymbol{\sigma}(t_1) - \boldsymbol{\sigma}(t_2)\|)$ . Обезразмеривающий коэффициент  $\sigma_{-1}$  есть предел выносливости при регулярном симметричном нагружении.

Закон движения поверхности выносливости в (2.1) задается выражением для скорости  $\dot{\alpha}$  движения ее центра. Здесь  $h(\beta) \geq 0$  есть материальная функция, задающая скорость движения поверхности выносливости в зависимости от значения  $\beta$ . Функция Хевисайда  $H(\beta)$  исполняет роль переключателя: пока напряженное состояние находится внутри поверхности выносливости, она не движется. Материальная функция  $f$  определяет зависимость  $\dot{\alpha}$  от угла между направлением  $\dot{s}$  движения точки, изображающей напряженное состояние, и направлением  $s - \alpha$  напряженного состояния относительно центра поверхности. Данный угол определяется как  $\cos(\angle(\dot{s}, s - \alpha)) = (\dot{s} : (s - \alpha)) / (\|\dot{s}\| \|s - \alpha\|)$ ;  $0 \geq f \geq 1$ , причем если эти направления совпадают ( $\cos(\angle) = 1$ ), то  $f = 1$  и если они противоположно направлены ( $\cos(\angle) = -1$ ), то  $f = 0$ . Поверхность выносливости движется в направлении напряженного состояния, поскольку  $\dot{\alpha}$  пропорционально  $s - \alpha$ .

Последнее уравнение в (2.1) есть эволюционное уравнение для параметра поврежденности. Здесь  $p(\beta) \geq 0$  есть материальная функция, отвечающая за скорость накопления поврежденности. По структуре это уравнение отличается от уравнения для  $\dot{\alpha}$  только отсутствием тензорнозначного множителя и присутствием множителя  $1/(1 - F(\sigma))^{L_4}$ , где  $F(\sigma) = 1$  задает поверхность прочности, а  $L_4$  — материальный параметр. Таким образом, при приближении к поверхности прочности скорость прироста поврежденности неограниченно возрастает. Скорость прироста поврежденности зависит от расстояния до поверхности выносливости (регулируется функцией  $p(\beta)$ ) и направления изменения напряженного состояния (регулируется функцией  $f$ , той же, что и в выражении для  $\dot{\alpha}$ ).

Скорость прироста поврежденности принята независимой от текущей поврежденности, так как выражение с зависимостью  $\dot{D} = G(D)F(\sigma(t))$  сводится к  $\dot{D} = F(\sigma(t))$  заменой переменной  $D$ . Свобода такой перенормировки допускается несвязанностью модели (2.1) с уравнениями движения среды.

Модель (2.1) склерономна, т.е. независима от скорости изменения нагрузки  $\sigma(t)$ , что достигается наличием множителя  $\|\dot{s}\|$  в правой части выражений для  $\dot{\alpha}$  и  $\dot{D}$ . Для уравнений (2.1) важна только форма пути в пространстве напряжений, а в случае одноосного нагружения — только значения максимумов и минимумов нагрузки.

По сравнению с моделью Оттосена

$$\begin{aligned} \beta &= \left( \sqrt{\frac{3}{2}} \|s - \alpha\| + KI_1 - \sigma_{-1} \right) / \sigma_{-1} \\ \dot{\alpha} &= \dot{\beta} h(\beta) H(\beta) H(\dot{\beta})(s - \alpha), \quad h(\beta) \equiv C \\ \dot{D} &= \dot{\beta} p(\beta) H(\beta) H(\dot{\beta}), \quad p(\beta) = K \exp(L\beta) \end{aligned} \quad (2.2)$$

где  $C, K$  есть материальные константы, модель (2.1) имеет следующие отличия:

1. Выражение для  $\beta$  усовершенствовано, чтобы описывать одноосную и сдвиговую диаграммы Хейга произвольной формы. Модель (2.2) описывает одноосную и сдвиговую диаграммы Хейга для одноосного нагружения, а в случае сдвигового нагружения она предсказывает одинаковую амплитуду выносливости  $\tau_a$  для любого среднего напряжения цикла  $\tau_m$ , в том числе и за пределами прочности материала.

2. Добавлено сокращение поверхности выносливости в зависимости от максимального размаха напряжений в истории. Уменьшение предела выносливости при наличии в истории нагружения циклов достаточной большой амплитуды наблюдается экспериментально [9].

3. В правой части эволюционных уравнений модели (2.2)  $\dot{\beta}$  заменено на  $\|\dot{s}\|$ . На траекториях напряжений  $\beta = \text{const} > 0$  модель (2.2) не накапливает поврежденность, не-

смотря на то, что напряженное состояние все время находится за пределами поверхности выносливости.

4. В эволюционное уравнение накопления поврежденности учтена поверхность прочности, чтобы исключить неадекватный прогноз при наличии единичных циклов большой амплитуды в истории нагружения.

5. В правой части эволюционных уравнений (2.2) присутствует простой переключатель  $H(\dot{\beta})$ , который отключает накопление поврежденности и движение поверхности выносливости, если напряженное состояние приближается к поверхности выносливости снаружи. Он был заменен на материальную функцию  $f(\angle(\dot{s}, s - \alpha))$ , чтобы увеличить возможность модели описывать результаты экспериментов на непропорциональное нагружение.

6. Была увеличена гибкость материальных функций, регулирующих скорости накопления поврежденности и движения поверхности выносливости в зависимости от значения  $\beta$ , что позволяет лучше регулировать наклон кривых Велера для различных коэффициентов асимметрии нагружения.

**3. Идентификация модели.** Материальные функции  $g(I_1)$  и  $r(\|\alpha\|)$  в выражении для  $\beta$  можно идентифицировать по двум диаграммам Хейга зависимостей пределов выносливости при одноосном и сдвиговом нагружениях от среднего напряжения в цикле.

На первом этапе рассматривается регулярное сдвиговое нагружение со средним значением  $\tau_m$  и амплитудой  $\tau_a$ . Ненулевыми компонентами тензора напряжений являются  $\sigma_{12} = \sigma_{21}$ ; те же ненулевые компоненты  $\alpha_{12} = \alpha_{21}$  имеет и тензор  $\alpha$ , так как  $\dot{\alpha}$  пропорционально  $s - \alpha$  (2.1). Такое нагружение лежит на диаграмме Хейга, если максимальное  $\tau_{\max} = \tau_m + \tau_a$  и минимальное  $\tau_{\min} = \tau_m - \tau_a$  напряжения цикла лежат на поверхности выносливости  $\beta = 0$ . Тогда весь цикл лежит внутри поверхности выносливости и касается ее границ крайними значениями, подставляя которые в выражение  $\beta = 0$  (2.1), получим

$$\sqrt{3}(\tau_m + \tau_a - \alpha_0) - r(\sqrt{2}\alpha_0) = 0, \quad \sqrt{3}(-\tau_m + \tau_a + \alpha_0) - r(\sqrt{2}\alpha_0) = 0 \quad (3.1)$$

где  $\alpha_0$  есть компонента  $\alpha_{12}$  тензора  $\alpha$ . В ходе такого циклического нагружения  $\alpha_0$  не изменяется, так как цикл лежит внутри поверхности выносливости. Исключив  $\alpha_0$  из (3.1), получим

$$\tau_a = \frac{1}{\sqrt{3}}r(\sqrt{2}\tau_m) \quad \text{или} \quad r(x) = \sqrt{3}\tau_a(x/\sqrt{2}) \quad (3.2)$$

где функция  $\tau_a(\tau_m)$  задает сдвиговую диаграмму Хейга. Первое выражение в (3.2) позволяет построить предсказываемую моделью диаграмму Хейга по известной функции  $r(x)$ , а второе, наоборот, – функцию  $r(x)$  по заданной, например, экспериментальной, сдвиговой диаграмме Хейга.

На втором этапе рассматривается регулярное одноосное нагружение со средним значением  $\sigma_m$  и амплитудой  $\sigma_a$ . Тензор напряжений имеет единственную ненулевую компоненту  $\sigma_{11}$ , а значит тензор  $\alpha$  имеет ненулевые диагональные элементы  $\alpha_{11}$  и  $\alpha_{22} = \alpha_{33} = -\frac{1}{2}\alpha_{11}$ , что следует из пропорциональности  $\dot{\alpha}$  и  $s - \alpha$  (2.1). Как и ранее, нагружение лежит на диаграмме Хейга если максимальное  $\sigma_{\max} = \sigma_m + \sigma_a$  и минимальное  $\sigma_{\min} = \sigma_m - \sigma_a$  напряжения цикла лежат на поверхности выносливости  $\beta = 0$ , подставляя которые в выражение для  $\beta$  (2.1). и обозначив  $\alpha_{11}$  как  $\alpha_0$ , получим

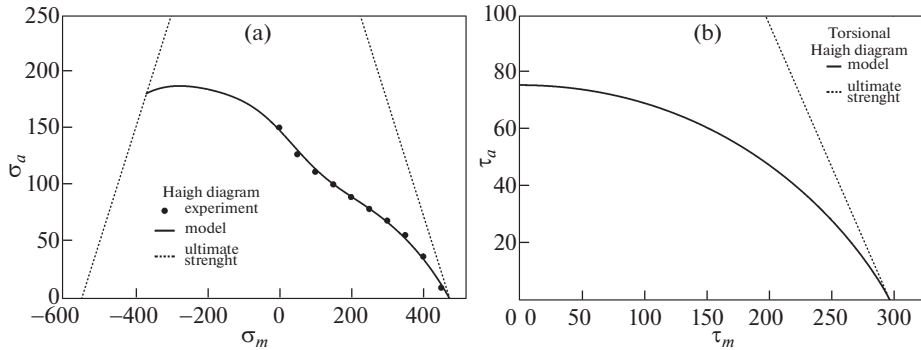


Рис. 2. Диаграммы Хейга для алюминиевого сплава AA2024-T4: для одноосного нагружения (а), для сдвигового нагружения (б). По осям отложены МПа.

$$\begin{aligned} \sigma_m + \sigma_a - \frac{3}{2}\alpha_0 - r\left(\sqrt{\frac{3}{2}}\alpha_0\right) + g(\sigma_m + \sigma_a) &= 0 \\ -\sigma_m + \sigma_a + \frac{3}{2}\alpha_0 - r\left(\sqrt{\frac{3}{2}}\alpha_0\right) + g(\sigma_m - \sigma_a) &= 0 \end{aligned} \quad (3.3)$$

Исключив из (3.3)  $\alpha_0$ , получим

$$\sigma_a + \frac{1}{2}\left(g(\sigma_m + \sigma_a) + g(\sigma_m - \sigma_a) - r\left(\frac{g(\sigma_m + \sigma_a) - g(\sigma_m - \sigma_a)}{\sqrt{6}} + 2\sigma_m\right)\right) = 0 \quad (3.4)$$

Если известна функция  $\sigma_a(\sigma_m)$ , задающая диаграмму Хейга для одноосного нагружения, то выражение (3.4) можно рассматривать как уравнение относительно функции  $g(x)$ . Это функциональное уравнение достаточно сложное, поэтому удобнее пойти другим путем. Если заданной считать функцию  $g(x)$ , то выражение (3.4) будет определять неявную зависимость между  $\sigma_a$  и  $\sigma_m$ . Пусть экспериментальная диаграмма Хейга задана в формате набора из  $n$  пар  $\{\sigma_m^i, \sigma_a^i\}$ ,  $i = 1..n$ . Будем искать  $g(x)$  как функцию, параметризованную набором параметров  $k_i$ ,  $i = 1..m$ , достаточно гибко регулирующих ее форму. Функция  $g(x)$  должна быть монотонно возрастающей, так как повышение  $I_1$  негативно влияет на усталостную прочность. При некотором конкретном наборе параметров  $k_i$  выражение (3.4) сопоставляет значениям  $\sigma_m^i$  значения  $\hat{\sigma}_a^i$ , отличающиеся от экспериментальных  $\sigma_a^i$ . Параметры  $k_i$  подбираются так, что невязка между прогнозируемыми  $\hat{\sigma}_a^i$  и экспериментальными  $\sigma_a^i$  минимальна.

Модель (2.1) далее идентифицируется для алюминиевого сплава AA2024-T4. Экспериментальная диаграмма Хейга [10] (рис. 2,а) удовлетворительно описывается функциями  $g(I_1)$ ,  $r(\|\alpha\|)$  изображенными на рис. 3. Ввиду отсутствия сдвиговой диаграммы Хейга для данного материала была использована кривая, похожая по форме на данные по другим алюминиевым сплавам, а сдвиговой предел выносливости при симметричном нагружении был принят  $\tau_{-1} = 0.55\sigma_{-1}$  [11]. Функция  $g$  искалась в виде аппроксимации, 4 параметра которой были найдены минимизацией невязки с экспериментальными данными симплекс-методом.

В качестве критерия прочности был выбран критерий Шлейхера [12]

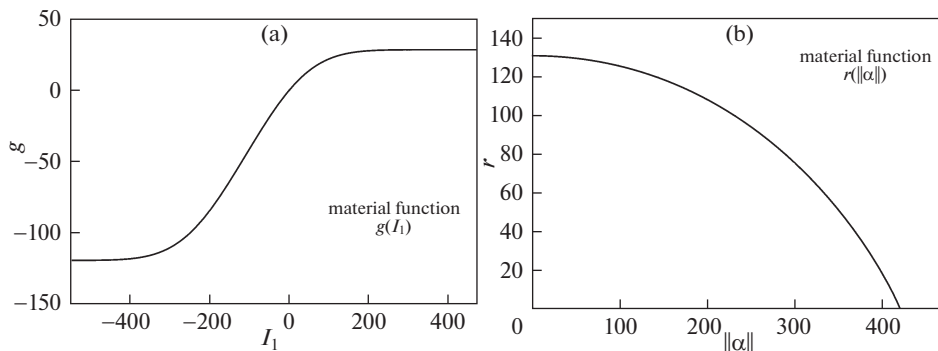


Рис. 3. Материальные функции  $g(I_1)$  (а) и  $r(\|\alpha\|)$  (б), идентифицированные для AA2024-T4. По осям отложены МПа.

$$\sqrt{\frac{3}{2}}\|\mathbf{s}\| = \sqrt{a_0 + a_1 I_1 + a_2 I_1^2}$$

который приводится к виду  $F(\boldsymbol{\sigma}) = 1$  при

$$F = \frac{\frac{3}{2} \mathbf{s} : \mathbf{s} - a_1 I_1 - a_2 I_1^2}{a_0} \quad (3.5)$$

Параметры  $a_i$  выражаются через пределы прочности на растяжение  $\sigma_{tu}$ , сжатие  $\sigma_{cu} > 0$  и сдвиг  $\tau_u$ :

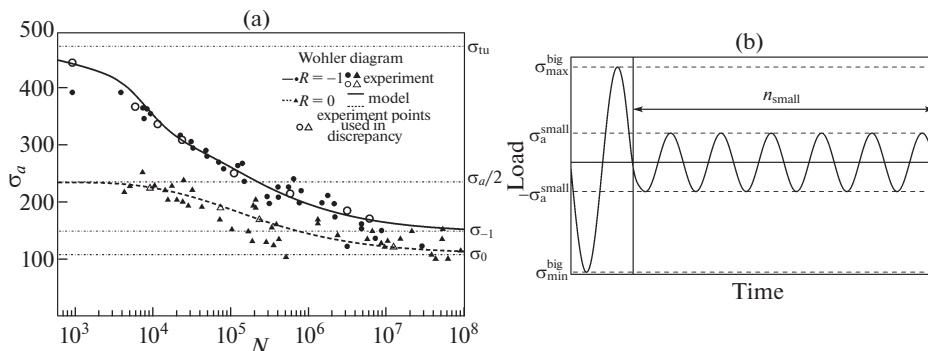
$$\begin{aligned} a_0 &= 3\tau_u \\ a_1 &= -3\tau_u \frac{\sigma_{cu} - \sigma_{tu}}{\sigma_{cu}\sigma_{tu}} \\ a_2 &= \frac{3\tau_u}{\sigma_{cu}\sigma_{tu}} - 1 \end{aligned} \quad (3.6)$$

Для AA2024-T4 пределы прочности были приняты  $\sigma_{tu} = 474$  МПа  $\tau_u = 290$  МПа [13] и  $\sigma_{cu} = 550$  МПа из оценочных соображений.

Следующую группу материальных функций предлагается искать в виде:

$$\begin{aligned} w(x) &= k_1 \left( \frac{1}{2}x + \frac{1}{10}b_1 \ln \left( \frac{\cosh(5(1-x/b_1))}{\cosh(5)} \right) \right) \\ h(\beta) &= k_2 \beta^{L_2} + b_2 \\ p(\beta) &= k_3 (\exp(L_3 \beta) - (1 - b_3)) \end{aligned} \quad (3.7)$$

где  $k_1, b_1, k_2, L_2, b_2, k_3, L_3, b_3$  – материальные константы. Функция  $w(x)$  представляет собой сглаженную кусочно линейную функцию, принимающую значение 0 при  $x \leq b_1$  и имеющую наклон  $k_1$  при  $x > b_1$ . Восемь констант (3.7) и константа  $L_4$  (2.1), связанная с поверхностью прочности, определяются по экспериментальным кривым Велера и некоторым экспериментам на нерегулярное одноосное нагружение. Рекомендуется использовать две и более кривых Велера для различных коэффициентов асимметрии нагружения  $R = \sigma_{\min}/\sigma_{\max}$ . Записывается невязка между предсказаниями модели и



**Рис. 4.** Диаграмма Велера для AA2024-T4: результаты экспериментов и предсказание модели для симметричных ( $R = -1$ ) и отнулевых ( $R = 0$ ) циклов (а) и один “такт” нерегулярного нагружения [9] (б). По вертикальной оси отложены МПа.

экспериментальными данными, а затем находится набор параметров, соответствующий ее минимуму. Сделать это можно, например, симплекс-методом.

Для AA2024-T4 были использованы две экспериментальные диаграммы Велера с симметричным и отнулевым одноосными нагружениями [13] (рис. 4,а), а также данные по нерегулярному одноосному нагружению [9], представляющие собой эксперименты на усталостное разрушение при наложении периодических перегрузок большой амплитуды на регулярное нагружение малой амплитуды (рис. 4,б). Сплав AA2024-T351, исследованный в [9], отличается от AA2024-T4 лишь небольшим различием в температурной обработке и имеет очень близкие механические свойства [14]. Невязка записывалась как

$$X = \sum_{i=1}^n \left( 1 - \frac{\ln(N_i)}{\ln(N_i^{exp})} \right)^2 + |q_{10/50}^{exp} - q_{10/50}| \quad (3.8)$$

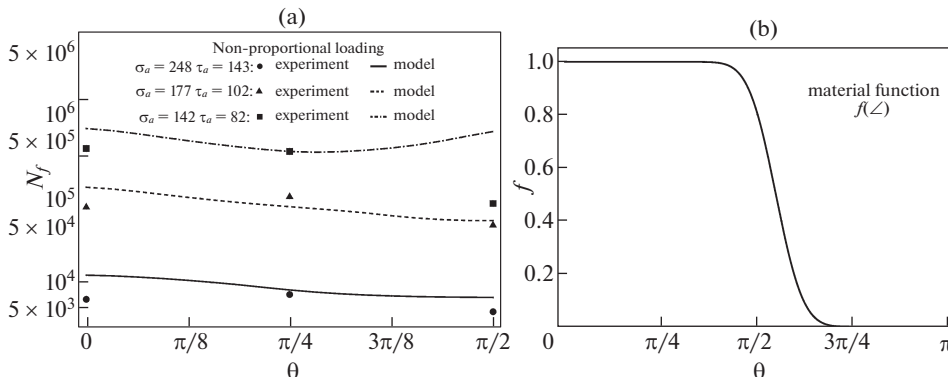
Первая часть невязки относится к диаграммам Велера; здесь  $N_i^{exp}$  есть экспериментальное значение числа циклов до разрушения на  $i$ -м нагружении,  $N_i$  – предсказание модели на том же нагружении,  $n$  – общее число экспериментальных точек, использованных в невязке (обозначены полыми значками на рис. 4,а). Вторая часть невязки относится к нерегулярному нагружению [9], где  $q_{10/50}^{exp} = 2.14$  есть отношение экспериментальных значений циклов до разрушения при  $n_{small} = 10$  и  $n_{small} = 50$  для нагружения, изображенного на рис. 4,б при  $\sigma_a^{small} = 110$  МПа,  $\sigma_{min}^{big} = -414$  МПа,  $\sigma_{max}^{big} = 359$  МПа;  $q_{10/50}$  – отношение, предсказываемое моделью. Путем минимизации невязки симплекс-методом были найдены значения констант для AA2024-T4:

$$k_1 = 1.96 \text{ МПа}, \quad b_1 = 804 \text{ МПа}, \quad k_2 = 1.68 \text{ МПа}, \quad L_2 = 5.94, \quad b_2 = 0.0673 \text{ МПа} \quad (3.9)$$

$$k_3 = 10^{-5.54}, \quad L_3 = 2.16, \quad b_3 = 3.09 \times 10^{-4}, \quad L_4 = 1.55$$

Этому набору констант соответствуют кривые Велера, изображенные на рис. 4,а, и  $q_{10/50} = 2.07$ .

Последняя материальная функция  $f(\angle(\dot{s}, s - \alpha))$ , отвечающая за накопление поврежденности в зависимости от направления изменения напряжений, разыскивается в виде



**Рис. 5.** Сравнение результатов экспериментов на непропорциональное нагружение алюминиевого сплава AA2024-T4 [8] с предсказаниями модели (а), материальная функция  $f(\angle)$  при  $L_5 = 1.1$ , отвечающая за зависимость скорости движения поверхности выносливости от направления изменения напряженного состояния (б).

$$f_0(x) = 1 - \operatorname{erf}\left(3\left(x - L_5 \frac{\pi}{2}\right)\right), \quad f(\angle) = \frac{f_0(\angle) - f_0(\pi)}{f_0(\pi) - f_0(0)}$$

Материальная константа  $L_5$  определяется из экспериментов на непропорциональное циклическое нагружение.

Для AA2024-T4 использованы экспериментальные данные [8] для нагружения, состоящего из комбинации циклического одноосного растяжения–сжатия и циклического сдвига, имеющих разность фаз  $\theta$ :

$$\sigma(t) = \sigma_a \cos(t), \quad \tau(t) = \tau_a \cos(t + \theta)$$

Наименьшее отклонение предсказаний модели от экспериментальных данных достигается при  $L_5 = 1.1$ . Сравнение экспериментальных данных [8] и результатов расчетов по модели приведено на рис. 5,а; идентифицированная материальная функция  $f(\angle)$  изображена на рис. 5,б. Плохое соответствие в случае  $\sigma_a = 142$  МПа,  $\tau_a = 82$  МПа,  $\theta = \pi/2$  может быть следствием завышенного предела выносливости, который обычно не является ярко выраженным для алюминиевых сплавов.

**4. Пример расчета.** Модель использована для прогноза накопления поврежденности при нерегулярном одноосном нагружении элемента подвески авиадвигателя в течение полетного цикла. На рис. 6 изображена динамика накопления поврежденности на этой истории нагружения, а также движение поверхности выносливости. Расчет по модели (2.1) с набором констант (3.9) показывает, что деталь выдержит  $N_f = 4998$  таких полетов, тогда как метод подсчета циклов в комбинации с формулой Одингга [15]

эквивалентного отнулевого цикла  $\sigma_a^{\text{eq}} = \begin{cases} (0.2\sigma_m + \sigma_a)/\sqrt{2}, & \sigma_m < 0 \\ \sqrt{\sigma_a(\sigma_a + \sigma_m)}/\sqrt{2}, & \sigma_m \geq 0 \end{cases}$  и основанный на

диаграмме Велера (рис. 3,а), дает результат  $N_f = 8226$ . Метод подсчета циклов практически не учитывает наличие циклов небольшой амплитуды в истории, даже если они имеют высокое среднее напряжение (в истории на рис. 6, большой цикл с  $\sigma_{\min} = -234$  МПа,  $\sigma_{\max} = 421$  МПа дает 99.7%-й вклад в накопление поврежденности).

Одного эксперимента на нерегулярное нагружение, типа изображенного на рис. 3,б, оказывается недостаточно для полной идентификации модели. Так, набор констант

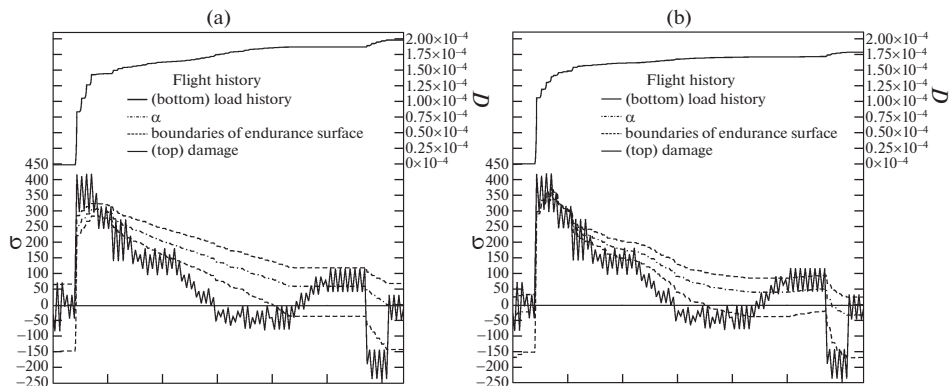


Рис. 6. Расчет динамики накопления поврежденности на полетном цикле с помощью модели (2.1): набор констант (3.9) (а) и набор констант (4.1) (б). Напряжения указаны в МПа.

$$\begin{aligned}
 k_1 &= 0.55 \text{ МПа}, & b_1 &= 553 \text{ МПа}, & k_2 &= 1.24 \text{ МПа} \\
 L_2 &= 1.94, & b_2 &= 0.0143 \text{ МПа} \\
 k_3 &= 10^{-6.16}, & L_3 &= 4.59, & b_3 &= 0.097, & L_4 &= 1.36
 \end{aligned}
 \tag{4.1}$$

предсказывает почти идентичные кривые Велера и величину  $q_{10/50}$ , что и ранее найденный набор (3.9), но дает отличающееся время жизни на нерегулярном нагружении рис. 6:  $N_f = 5607$ . Недостающим экспериментом может служить нагружение, состоящее из полуциклов большой амплитуды  $\sigma_a^{\text{big}}$  и циклов малой амплитуды  $\sigma_a^{\text{small}}$  между ними (рис. 7). При  $n_{\text{small}} = 8$ ,  $\sigma_a^{\text{small}} = 50$  МПа,  $\sigma_a^{\text{big}} = 180$  МПа, наборы констант (3.9) и (4.1) предсказывают соответственно  $N_f = 33725$  и  $N_f = 50756$ . Имея результаты подобного эксперимента, можно было бы выбрать наиболее подходящий набор констант или же сразу добавить эти результаты в невязку (3.8).

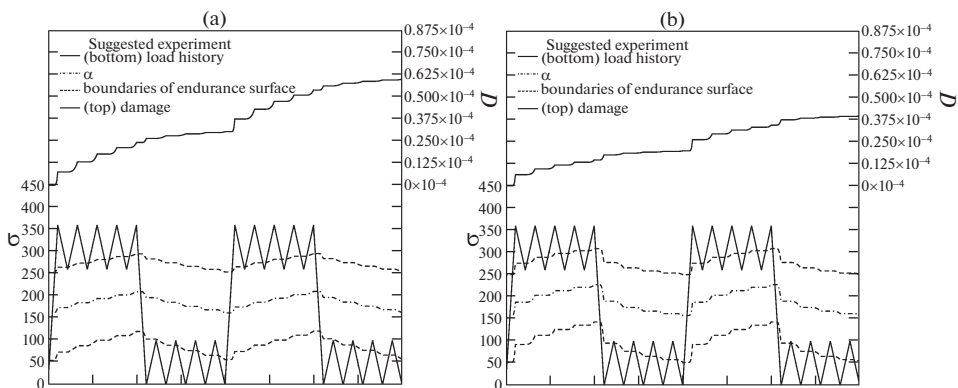


Рис. 7. Предлагаемый эксперимент, расчет динамики накопления поврежденности с помощью модели (2.1): набор констант (3.9) (а) и набор констант (4.1) (б). Напряжения указаны в МПа.

**5. Заключение.** Сформулированная эволюционная модель, существенно обобщающая формулировку Оттосена, способна описывать довольно широкий комплекс данных многоциклового усталости, в том числе при нерегулярном и непропорциональном нагружениях. Предложена программа критического эксперимента, необходимого для описания моделью усталостного ресурса в полетных циклах.

#### СПИСОК ЛИТЕРАТУРЫ

1. *Стрижиус В.Е.* Допускаемые напряжения в машиностроении и циклическая прочность металлов. М.: Машиностроение, 2012. 271 с.
2. *Воробьев А.З., Олькин Б.И., Стебеньев В.Н., Родченко Т.С.* Сопротивление усталости элементов конструкций. М.: Машиностроение, 1990. 240 с.
3. *Pereira H.F.S.G., DuQuesnay D.L., Jesus A.M.P. De, Silva A.L.L.* Analysis of variable amplitude fatigue data of the P355NL1 steel using the effective strain damage model // ASME. J. Pressure Vessel Technol. 2009. V. 131. № 5. P. 051402.  
<https://doi.org/10.1115/1.3147986>
4. *Schütz W., Heuler P.* Miner's rule revisited // An assessment of fatigue damage and crack growth prediction techniques. AGARD Report. 1994. № 797. P. 1.1.
5. *Ekvall J.C., Young L.* Converting fatigue loading spectra for flight-by-flight testing of aircraft and helicopter components // J. Test. Eval. 1976. V. 4. № 4. P. 231–247.  
<https://doi.org/10.1520/JTE10207J>
6. *Волков И.А., Изумнов Л.А.* Введение в континуальную механику поврежденной среды. М.: Физматлит, 2017. 304 с.
7. *Ottosen N.S., Stenström R., Ristinmaa M.* Continuum approach to high-cycle fatigue modeling // Int. J. Fatigue. 2008. V. 30. № 6. P. 996–1006.  
<https://doi.org/10.1016/j.ijfatigue.2007.08.009>
8. *Xia T., Yao W., Zou J., Gao D.* A novel accumulative fatigue damage model for multiaxial step spectrum considering the variations of loading amplitude and loading path // Fatigue Fract. Eng. Mater. Struct. 2015. V. 39. № 2. P. 194–205.  
<https://doi.org/10.1111/ffe.12349>
9. *Jurcevic R., DuQuesnay D.L., Topper T.H., Pompetzki M.A.* Fatigue damage accumulation in 2024-T351 aluminium subjected to periodic reversed overloads // Int. J. Fatigue. 1990. V. 12. № 4. P. 259–266.  
[https://doi.org/10.1016/0142-1123\(90\)90453-L](https://doi.org/10.1016/0142-1123(90)90453-L)
10. *Cai X., Li X., Xu J.* Fatigue limit and life evaluation formulae for compressive mean stress states // Mater. Sci. Technol. 2018. V. 34. № 17. P. 2166–2173.  
<https://doi.org/10.1080/02670836.2018.1522100>
11. *Forrest P.G.* Fatigue of metals. Oxford: Pergamon press, 1962. 436 p.
12. *Kolupaev V.A.* Equivalent stress concept for limit state analysis. Cham: Springer, 2018. 365 p.
13. *Rice R.C., Jackson J.L., Bakuckas J., Thompson S.* Metallic materials properties development and standartization – 01. Springfield: National technical information service, 2003. 1632 p.
14. *Kaufman G.J.* Introduction to aluminum alloys and tempers, Chapter 4. Materials Park: ASM International, 2000. 242 p.
15. *Одинг И.А.* Допускаемые напряжения в машиностроении и циклическая прочность металлов. М.: Машгиз, 1962. 260 с.